

## شروط تحليلية كروماتوغرافية جديدة لفصل وتحديد مزيج عاري من الستيرولات النباتية

جمال الحلبي، د. أحمد أبو حجر

\*الكيمياء التحليلية، كلية العلوم، جامعة إدلب

**الملخص:**

يهدف هذا البحث إلى تطوير طريقة كروماتوغرافيا سائلة عالية الأداء ذات الطور المعكوس (RP-HPLC) والتحقق من صلاحيتها لفصل وتحديد مزيج من الستيرولات النباتية، التي تُعد مكونات أساسية في المنتجات الغذائية والعشبية، وهي معروفة بتأثيراتها المفيدة في معالجة فرط شحميات الدم. أجري التحليل الكروماتوغرافي بواسطة عمود Thermo Hypersil™ RP C8 HPLC (أبعاده  $250 \times 4.6$  mm) وبواسطة جسيمات I.D. (الأسيتونترييل:الماء) بنسبة حجمية 20:80% استعمل طوراً متحركاً في وضع الفصل متساوي الضغط Isocratic Eluent وبمعدل تدفق 1.8 mL/min عند درجة حرارة  $45^{\circ}\text{C}$  و $20 \mu\text{L}$  كحجم محقون. سُجلت الكروماتوغرامات عند طول موجة 195 nm بواسطة كاشف مصفوفة الصمام الثنائي (DAD). قُيمت مصدوقية الطريقة اعتماداً على مقاييس الخطية والنوعية وحد الكشف (LOD) وحد القياس الكمي (LOQ) وفقاً لتوصيات المجلس الدولي للمواءمة (ICH). تضمن هذه الطريقة الموثقة دقةً عالية، وإجراء سريع لتحضير العينات من أجل التحديد الدقيق لمحتوى الستيرولات في المنتجات الغذائية والعشبية والزيوت النباتية لمراقبة جودة وسلامة وفعالية المنتجات المدرosaة والتأكد منها وذلك خلال زمن تحليل لا يتجاوز 23 دقيقة.

**الكلمات المفتاحية:** الستيرولات النباتية، تطوير طريقة تحليلية، مراقبة الجودة، كروماتوغرافيا سائلة عالية الأداء ذات الطور المعكوس، المصدوقية، كاشف DAD

## "New Chromatographic Analytical Conditions for the Separation and Determination of a Standard Mixture of Phytosterols"

Jamal. Al-haleb \*, Ahmed. Abo Hjer \*\*

\*Analytical Chemistry, Faculty of Science, University of Idlib

### Abstract:

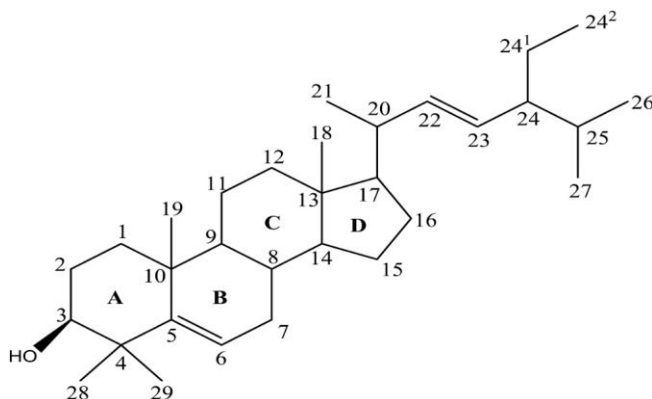
This research aims to develop a reverse-phase high-performance liquid chromatography (RP-HPLC) method and validate its suitability for the separation and identification of a mixture of phytosterols, which are key components of food and herbal products known for their beneficial effects in managing hyperlipidemia. Chromatographic analysis was performed using a Thermo Hypersil™ RP C8 HPLC column ( $250 \times 4.6$  mm I.D.) and  $5 \mu\text{m}$  particle size. A mixture of (Acetonitrile:Water) in a ratio of (80:20)% was used as the mobile phase under isocratic elution conditions, with a flow rate of  $1.8 \text{ mL/min}$  at a temperature of  $45^\circ\text{C}$  and  $20 \mu\text{L}$  as an injection volume. The chromatograms were recorded at  $195 \text{ nm}$  using Diode Array Detector (DAD). Validation of the method was evaluated based on linearity, specificity, limit of detection (LOD), and limit of quantification (LOQ), according to the guidelines of the International conference on Harmonization (ICH). This reliable method ensures high accuracy and a rapid sample preparation process for the precise determination of sterol content in food products, herbal formulations, and vegetable oil, facilitating quality, safety, and efficacy monitoring, all within an analysis time of no more than 23 minutes.

**Keywords:** Phytosterols, Analytical method development, Quality control, RP-HPLC, Validation, Detector (DAD)

**1- المقدمة:****Introduction**

تُعرف الستيروولات النباتية على أنها مجموعة من المركبات موجودة بشكل طبيعي في النباتات مثل الخضراوات والمكسرات والبذور والبقوليات وزيت الزيتون والزيوت النباتية، وتوجد في عدة أشكال وأكثرها شيوعاً في النظام الغذائي البشري هي بيتا-سيتosterول  $\beta$ -Sitosterol وكامبيستيرول Campesterol وستغماستيرول Stigmasterol (Weihrauch & Grander, 1978)، وهذه الستيروولات الموجودة في النباتات شبيهة بالكوليستيرول ومماثلة له من ناحية التركيب الكيميائي والوظيفة(Ogbe *et al.*, 2015)، وبذلك تكون قادرة على تخفيض امتصاصه واستقلابه في الجسم(Smet *et al.*, 2012). تُعد الأنظمة الغذائية الغنية بالستيروولات فعالة في خفض الكوليستيرول الكلي عند الأطفال الذين يعانون من فرط شحميات الدم دون آثار سلبية كبيرة (Garoufi *et al.*, 2014). وقدُجِدَ أن استهلاك المكمّلات الستيروولية النباتية بنسبة gr (1.6-2.5) يومياً يمكن أن يؤدي إلى انخفاض الغليسيريدات الثلاثية بنسبة 6% (Demonty *et al.*, 2013)، كما أن الاستهلاك اليومي للستيروول النباتي (2-3) gr ممكن أن يُخفض مستويات الكوليستيرول الضار LDL-C بنسبة 5-15%， وقد تكون زيادة كمية الستيروولات المستهلكة في مجموعة متنوعة من الأطعمة طريقة مهمة لخفض مستويات الكوليستيرول والوقاية من أمراض القلب التاجية (Rawal *et al.*, 2015). إذ تؤدي الستيروولات النباتية وظيفة مهمة هاماً في تنظيم الأكسدة والدهون في الدم وتظهر خصائص مضادة للسرطان(Raju *et al.*, 2013)، كما تؤدي الستيروولات وظيفة مهمة هاماً في الصناعات الغذائية والدوائية حالياً لكونها تُعد البادئات لبعض الجزيئات الحيوية مثل الإرغوستيرول (مولد فيتامين D)، كذلك تستعمل في تصنيع الكورتيزون وهرمون الفلافون(Hartmann, 1998). لم يسجل تناول الستيروولات أي آثار جانبية عند استهلاكها إلا في حالات استثنائية لدى المرضى المصابين بفرط فيتosterolemia (Calandra *et al.*, 2011). لذا فقد صرحت الهيئة الأمريكية للغذاء والدواء (FDA) بسلامته وأوصت بتوسيع إجراء الدراسات للتعرف على الآثار الصحية وفوائد الستيروولات وبعض الأطعمة التقليدية

الغنية بها عن طريق تعديل المدخل الغذائي اليومي للمادة المحددة حسب الضرورة المنفعة المطالب بها (FDA, 2010). وفقاً لتوصيات IUPAC (1989) الستيروولات عبارة عن مركبات أليفاتية عالية الوزن الجزيئي، مشتقة حيوياً من السكوالين Tetracyclic Squalene، تحتوي على نواة الستيرون المميزة بأربع حلقات متصلة Perhydro-Cyclopentano-Phenanthrene (A, B, C, D) مع ترقيم الكربون القياسي وتحمل مجموعة هيدروكسيل عند ذرة الكربون C-3 ثلث حلقات فيها سداسية (A, B, C) والحلقة الرابعة خماسية (D) كما في الشكل (1)، ولكنها تختلف في السلسلة الجانبية عند ذرة C-24 موقع وتركيب الروابط الثانية غير المشبعة والتلوير البصري حول ذرة الكربون غير المتناظرة Azadmard-Damirchi (Azadmard-Damirchi, & Dutta, 2010).



الشكل (1): البنية الكيميائية العامة للستيروولات النباتية وفقاً لنظام IUPAC

طورت مجموعة من الطرائق التحليلية لفصل وتحديد الستيروولات في المستخلصات العشبية بواسطة تقانات كروماتوغرافية الطبقة الرقيقة  $^{13}\text{C}$ -TLC و- $\text{C}$ -NMR ( $^{1}\text{H}$ -NMR) والتحليل الطيفي بالأشعة تحت الحمراء IR (Potawale *et al.*, 2014) (Suhartati & Chakraborty *et al.*, 2023) (Mishra *et al.*, 2016) (Okoro *et al.*, 2021) (Sangwan, 2019) (Ahmed *et al.*, 2021) (Yandri, 2021) (Vemuri *et al.*, 2017) (Solich *et al.*, 2017) (Lee *et al.*, 2018) (Khonsa *et al.*, 2022) (Hryniwicka *et al.*, 2020) (Qi *et al.*, 2019) (Saleh, 2021) (Qi *et al.*, 2015)، وفي الزيوت النباتية (Saleh, 2021) وكذلك في البذور

والمسكرات (Kornsteiner-krenn *et al.*, 2009; Delgado-Zamarreno *et al.*, 2009) 2013. كما حددت الستيروولات في الزيوت النباتية بواسطة تقانة HPLC بالاقتران مع كاشف الفلورة FLD (Mo *et al.*, 2013). استعمل (Ito *et al.*, 2017) تقانة HPLC-MS مع كاشف التأين الكيميائي APCI لتحديد ستة ستيروولات في 14 زيتاً غذائياً، وأيضاً كاشف HPLC-ELSD (Warner & Mounts, 1990) لتحديد ستة ستيروولات في البذور والمسكرات (Pop *et al.*, 2012)، وأيضاً في البذور والمسكرات (Silva (Islam *et al.*, 2017) (Hossain & Jayadeep, 2020) GC-FID كاشف HPLC-MS (Vecka *et al.*, 2019) والحبوب بواسطة كاشف GC-. استعملت تقانة MS لتحديد الستيروولات في الزيوت النباتية والمكسرات والمكملات الغذائية (Deme (Matthäus & Özcan, 2020) (Li *et al.*, 2023) *et al.*, 2021) (et al., 2020).

## **1-1 الأجهزة والمواد المستخدمة:**

### **Used Tools**

- جهاز الكروماتوغرافية السائلة عالية الأداء UHPLC<sup>+</sup> المزود بكاشف Dionex UltiMate 3000 UHPLC<sup>+</sup> (RS) (190 - 800 nm) من إنتاج شركة Thermo Scientific مزود بمضخة تحليلية وحافن آلي وأعمدة فصل كروماتوغرافية مطعمة كيميائياً على سيليكا مسامية وذات حجم مسامات 120 Å وفق الآتي: C8 (250×4.6 mm, 5 µm), C8 (150×4.6 mm, 5 µm)

- حمام مائي يعمل على الأمواج فوق الصوتية Ultra Sonic من إنتاج شركة Wincom الصينية نموذج WT-615HTD.

- ميزان تحليلي حساس بدقة 0.1 mg وسعة قياس قصوى gr 220 من إنتاج شركة Sartorius الألمانية نموذج QUINTIX224-1S.

- ماسات حجمية دقيقة آلية Micropiptte متغيرة الحجم ذات سعات مختلفة إنتاج شركة JOANLAB الصينية، وهذه الماسات يمكن التحكم بحجمها عن طريق معدلة الحجم.

- مرشحات ميكرونية ذات أبعاد  $0.45 \mu\text{m}$  من إنتاج شركة ISOLAB الألمانية.

### 2.1-1 المواد الكيميائية المستخدمة: Chemical Materials

استعملت في هذا البحث مواداً كيميائية عالية النقاوة من درجة GR، والماء المستخدم ثنائي التقطير في جميع مراحل التحضير.

استعمل مزيج ستيرولي عياري ذي النقاوة  $95\% \geq$  والمكون من (بيتا- سيتوكستيرول 14.55% (CAS)، كامبستيرول (β-SS 70.69%)، ستغماستيرول (STS 9.12%)، براسيكاستيرول (BRS 0.82%) من إنتاج شركة Salus.

كذلك استعملت مواد عيارية إفرادية لكل من مكونات المزيج السابق بنقاوة  $98 \geq$  من إنتاج شركة Solarbio.

### 2-1 تحضير المحاليل: Preparation of Solutions

#### 1.2-1 المحاليل العيارية الأم لستيرولات النباتية:

حضرت أربعة محاليل عيارية أم من الستيرولات النباتية العيارية بتركيز  $3 \text{ mg.mL}^{-1}$  بإذابة الوزن اللازم من كل مادة عيارية (حسب على أساس الوزن الجاف) في الميتانول للحصول على التركيز المطلوب. ثم حفظت المحاليل المُحضرّة في عبوات محكمة الإغلاق لحين الاستعمال.

#### 2.2-1 محلول المزيج стирولي العياري:

وزنت كمية  $70.73 \text{ mg}$  من المزيج العياري، ثم وُضعت في دورق حجمي سعة  $50 \text{ mL}$ ، وأضيف إليها  $20 \text{ mL}$  من الميتانول وحركت جيداً حتى تمام الانحلال، ثم أكمل الحجم بالميتانول حتى الدائرة العيارية، ثم وضع محلول في جهاز الأمواج فوق الصوتية لمدة  $15 \text{ min}$  حتى تمام الانحلال، وبذلك نحصل على التراكيز:  $(11.6, 205, 129, 1000) \mu\text{g.mL}^{-1}$  لـ  $\beta\text{-SS}$  و  $\text{STS}$  و  $\text{BRS}$  و  $\text{CAS}$  على الترتيب، ويُحفظ محلول في عبوة محكمة الإغلاق لحين الاستعمال.

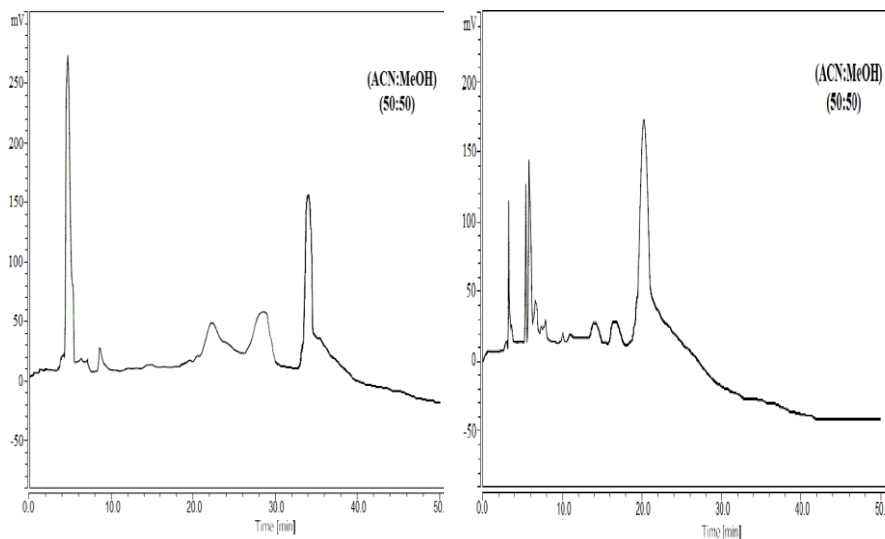
## -2 النتائج والمناقشة: Results

### 1-2 تطوير الطريقة الكروماتografية لفصل الستيروولات النباتية: Development of the Chromatographic Method for Separating Sterols

درست في هذا البحث إمكانية فصل مزيج من الستيروولات النباتية بغية الكشف عنها وتحديدها بواسطة تقانة HPLC، وذلك بعد وضع بعض الشروط الكروماتografية التي اعتمدت في اختيارها على الدراسات المرجعية الخاصة بدراسة الخواص الفيزيائية والكيميائية لكل من الستيروولات المدروسة(Abidi, 2001)، وذلك على كفاءة عملية الفصل (Rs) وعلى مساحة القمة الكروماتografية Area وزمن الاحتفاظ (Retention time) (Rt) ومعامل التذليل للقمة ( $T_f$ ) تسمح بتحقيق هذه الدراسة.

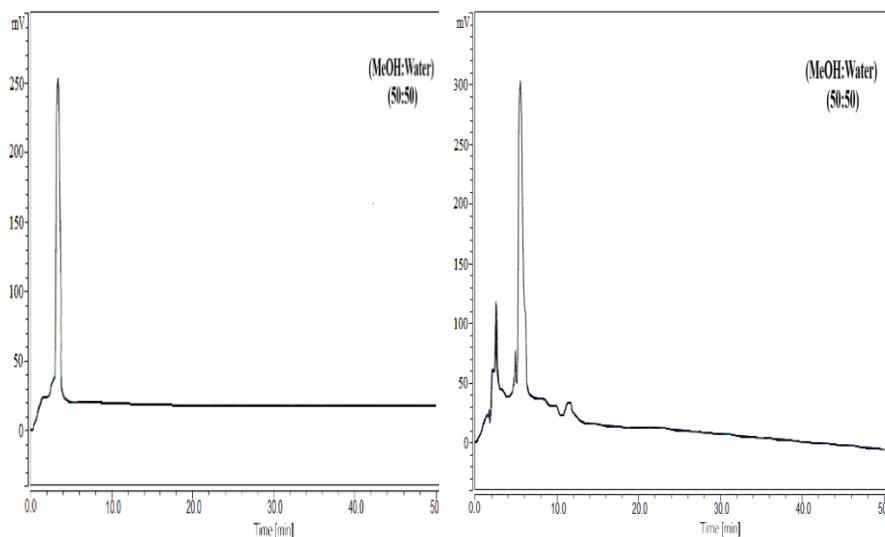
#### 1.2-2 اختيار طول العمود ونسبة مزج الطور المتحرك الأمثل:

تم العمل على تحديد مكونات الطور المتحرك ونسبة المزج بعد مراجعة (Abidi, 2001) إذ حُقن  $20 \mu\text{L}$  من المزيج الستيروولي العياري المُحضر في الفقرة (2.2-1) بمعدل تدفق  $1.8 \text{ mL/min}$  وطول موجة الكاشف  $195 \text{ nm}$  عند درجة الحرارة  $40^\circ\text{C}$  كشروط أولية. فيما يلي الكروماتograms المُوافقة لفصل مزيج الستيروولات العياري بواسطة تركيب مختلفة للطور المتحرك بنسب مزج ثابتة مع الأعمدة المدروسة:



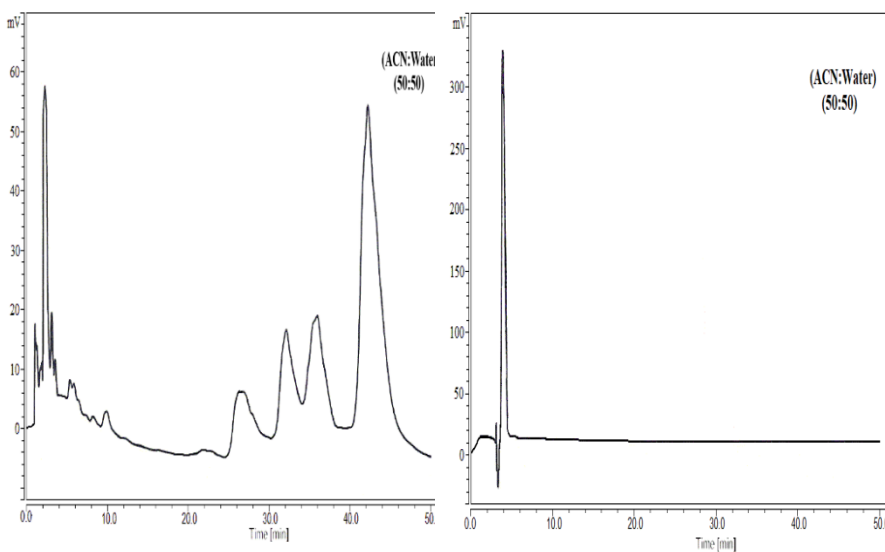
الشكل (3): الكروماتوغرام الموافق لفصل المزيج العياري بواسطة (أسيتونتريل:ميتانول) بنسبة مزج C8 (250 mm) مع العمود (50:50)

الشكل (2): الكروماتوغرام الموافق لفصل المزيج العياري بواسطة (أسيتونتريل:ميتانول) بنسبة مزج (50:50) مع العمود C8 (150 mm)



الشكل (5): الكروماتوغرام الموافق لفصل المزيج العياري بواسطة (ميتانول:ماء) بنسبة مزج C8 (250 mm) مع العمود (50:50)

الشكل (4): الكروماتوغرام الموافق لفصل المزيج العياري بواسطة (ميتانول:ماء) بنسبة مزج (50:50) مع العمود C8 (150 mm)

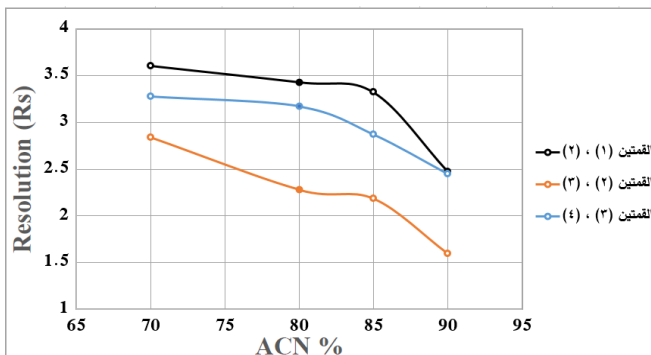


الشكل (7): الكروماتوغرام الموافق لفصل المزيج العياري بواسطة (أسيتونتريل:ماء) بنسبة مزج العياري (أسيتونتريل:ماء) بنسبة مزج C8 (250 mm) مع العمود (50:50) C8 (150 mm) مع العمود (50:50)

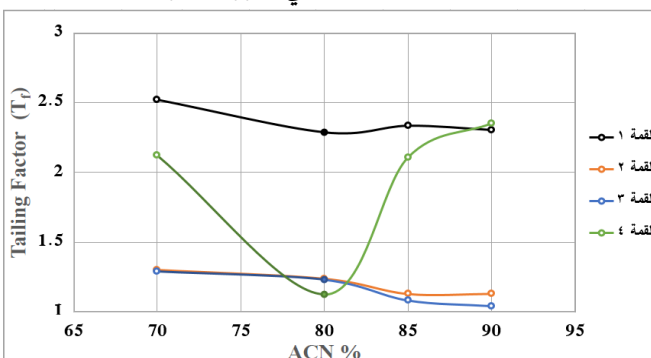
تبين النتائج أن أفضل مزيج للطور المتحرك هو (أسيتونتريل:ماء) عند استعمال العمود  $5 \mu\text{m}$   $250 \times 4.6 \text{ mm}$ ,  $5 \mu\text{m}$   $C8$  كون نتائج الفصل والتباين و زمن الاحتفاظ كانت أفضل مقارنةً مع العمود  $150 \times 4.6 \text{ mm}$ ,  $5 \mu\text{m}$   $C8$  لذا تم العمل على دراسة نسبة المزج المثلثي له بما يحقق أفضل الشروط. بعد سلسلة من التجارب العملية ودراسة الكروماتوغرامات ومع زيادة النسبة المئوية للأسيتونتريل في جملة الطور المتحرك نستنتج:

- 1 - تناقص زمن الاحتفاظ للقمن الأربع الموافقة لمكونات المزيج العياري.
- 2 - تناقص في تباين القمن  $4, 3, 2$  الموافقة لمكونات المزيج العياري.

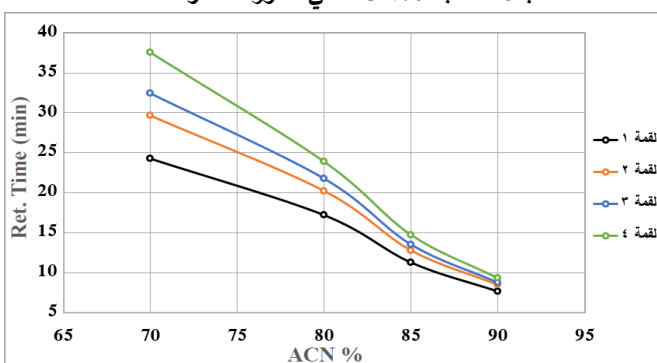
إذ تعمل الزيادة المائية في مزيج الطور المتحرك على تحسين فصل بعض القمن ولكنها تزيد أيضاً من زمن الاحتفاظ بها. قد حصلنا على فصل تام تقريباً ابتداءً من نسبة الأسيتونتريل  $70\%$ , وكما هو موضح في الأشكال (8-10) لدراسة تأثير تغير تركيب الطور المتحرك (أسيتونتريل:ماء) على كلٍ من زمن الاحتفاظ لستيرولات المدروسة ومدى تناظر القمم وتأثيرها على القدرة على الفصل.



الشكل (8): المنحني البياني الممثل لتغير تباين القمم الكروماتوغرافية المفصولة بدلالة نسبة ACN% في الطور المتحرك



الشكل (9): المنحني البياني الممثل لتغير معامل تذيل القمم الكروماتوغرافية المفصولة بدلالة نسبة ACN% في الطور المتحرك



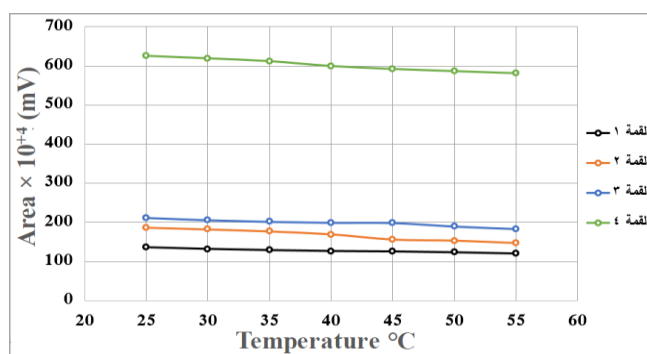
الشكل (10): المنحني البياني الممثل لتغير زمن الاحتفاظ للقمم الكروماتوغرافية المفصولة بدلالة نسبة ACN% في الطور المتحرك

نلاحظ من نتائج الشكل (8) أن زيادة نسبة الأسيتونتيل ضمن مزيج الطور المتحرك يقود لتناقص التباين تدريجياً، كما أدى إلى تناقص معامل التذيل عموماً مع بعض الاستثناءات (القمة 4) الموضحة في الشكل (9)، وبالرغم من أن انخفاض زمن

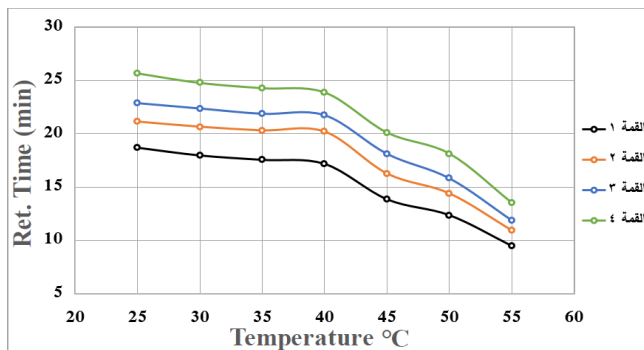
الاحتفاظ بزيادة نسبة الأسيتونتيل كان ملحوظاً في الشكل (10) وأن مزيج الستيرولات يمكن فصله خلال زمن لا يتجاوز 25 min وهي ميزة تحليلية فائقة القيمة لأنها تخفض زمن التحليل كثيراً، إلا أنه اختيارت نسبة المزج للطور المتحرك (أسيتونتيل:ماء) (80:20) إذ يكون زمن الاحتفاظ مقبول نوعاً ما مع إشارة تحليلية واضحة المعالم بالرغم من ارتفاع قيمة التباين مع معامل تذليل كبير للفمة (1). اعتمدنا استعمال هذه النسبة في التجارب اللاحقة على أن نعمل لاحقاً على إنقاص التباين والتدليل.

### 3.2-2 دراسة تأثير درجة الحرارة على عملية الفصل الكروماتوغرافي:

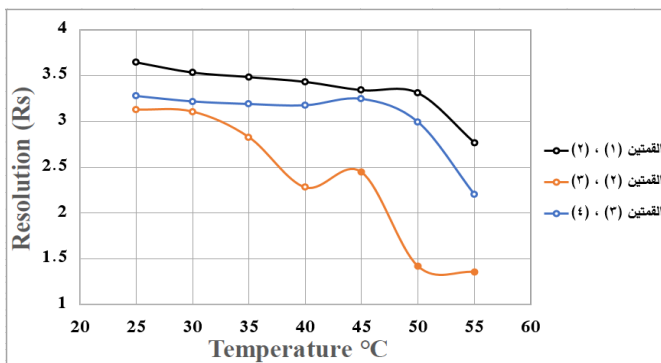
درست تأثير درجة الحرارة على كفاءة عملية الفصل الكروماتوغرافي للمواد المدروسة وعلى مساحة القمم وتناظرها وأزمنة الاحتفاظ الخاصة بها، بحيث ثبتت الشروط الكروماتوغرافية (نوع عمود الفصل ونسب مكونات مزيج الطور المتحرك). رفعت درجة حرارة العمود تدريجياً ضمن المجال الحراري (25-55°C) بفارق حراري 5°C وسجلنا الكروماتوغرام الناتج في كل مرة. رسمت العلاقة بين تغيرات  $T_f$ ,  $R_s$  بدلالة تغير درجة حرارة العمود كما هو مبين بالأشكال (11-14):



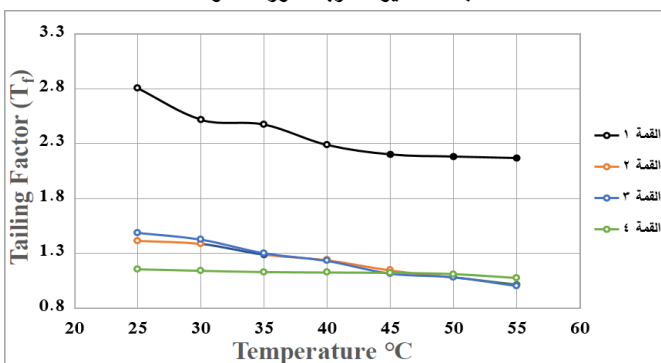
الشكل (11): المنحني البياني الممثل لمساحة القمم الكروماتوغرافية المفصولة بدلالة تغيرات درجة حرارة العمود



الشكل (12): المنحني البياني الممثل لتغير زمن الاحتفاظ للقم الكروماتوغرافية المفصولة بدلاله تغيرات درجة حرارة العمود



الشكل (13): المنحني البياني الممثل لتغير تباين القمم الكروماتوغرافية المفصولة بدلاله تغيرات درجة حرارة العمود



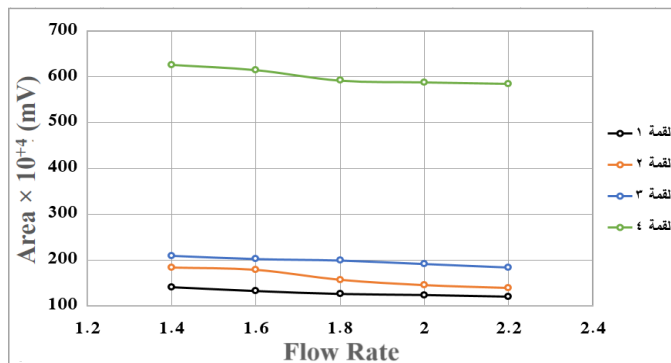
الشكل (14): المنحني البياني الممثل لتغير معامل تتبيل القمم الكروماتوغرافية المفصولة بدلاله تغيرات درجة حرارة العمود

نلاحظ من النتائج السابقة أن زيادة درجة الحرارة تقلل بشكل طيف من مساحة القمة الكروماتوغرافية العائدة للمواد المدروسة، كما أنه بارتفاع درجة الحرارة تتناقص قيم أزمنة الاحتفاظ للقم الكروماتوغرافية، وبالتالي تقارب القمم الكروماتوغرافية من

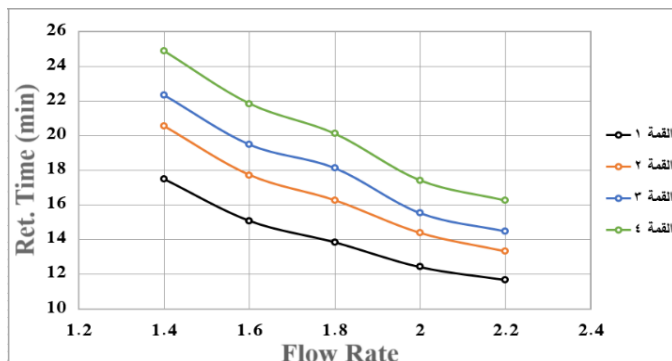
بعضها، ويحدث تداخل ما يؤثر سلباً على جودة الفصل، وقد يُعزى سبب تناقص أزمنة الاحتفاظ لانخفاض لزوجة الطور المتحرك بارتفاع درجة حرارة العمود وزيادة انتشار المادة المحللة، كما يمكن أن يُضعف من ارتباط المادة المفصولة مع الطور الساكن ويُسْرع بفصلها إذ إن مفعول التوزيع للمركبات على الطور الساكن تتناقص قيمته. ومن دراسة الأشكال (13-14) لدراسة العلاقة البيانية بين تغير درجة الحرارة بدلالة معاملات التباين والتذليل، وجدنا أن معامل التذليل للقمة (1) ( $T_f \geq 2$ ) ولكن تباين القمتين (2) و(3) عند درجتي الحرارة  $50^{\circ}\text{C}$  و $55^{\circ}\text{C}$  كانت (1.423) و(1.360) على الترتيب ( $Rs \leq 2$ )، ومن ثم اختيرت درجة الحرارة المُثلى عند القيمة  $45^{\circ}\text{C}$  لموافقتها لمعامل تباين مناسب (2.447) مع زمن احتفاظ منخفض بالمقارنة مع درجات الحرارة الأدنى، وتصبح قدرة العمود على الفصل أفضل إضافةً لازدياد تناظر القمم.

#### 4.2-2 دراسة تأثير معدل تدفق الطور المتحرك:

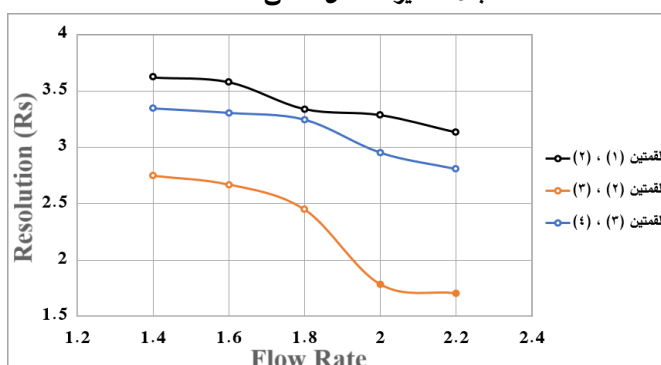
مرر الطور المتحرك خلال عمود الفصل بتدفقات (1.4, 1.6, 1.8, 2.0, 2.2) mL/min من أجل دراسة تغيرات تدفق الطور المتحرك، ثم مراقبة عملية الفصل الكروماتوغرافي للمواد المدروسة بتثبيت الشروط الكروماتوغرافية المدروسة الأخرى عند كل تدفق. ولدراسة تأثير تغير تدفق الطور المتحرك على أهم المقاييس الكروماتوغرافية رسمت العلاقة بين تغيرات  $Area$ ,  $Rt$ ,  $Rs$  بدلالة تغير تدفق الطور المتحرك كما هو مُبيّن بالأشكال (15-18) :



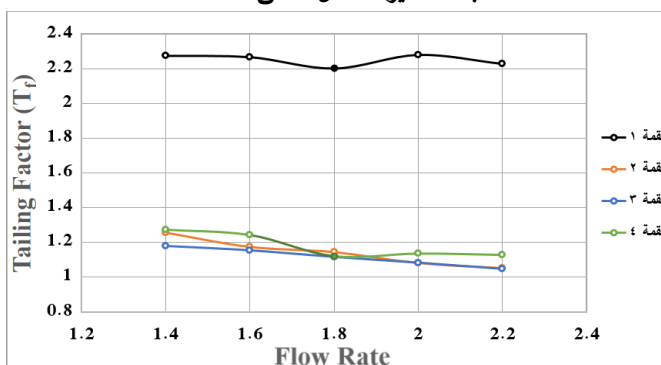
الشكل (15): المنحني البياني الممثل لمساحة القمم الكروماتوغرافية المفصولة بدلالة تغيرات معدل التدفق



الشكل (16): المنحني البياني الممثل لتغير زمن الاحتفاظ للقمم الكروماتوغرافية المفصولة بدلالة تغيرات معدل التدفق



الشكل (17): المنحني البياني الممثل لتغير تباين القمم الكروماتوغرافية المفصولة بدلالة تغيرات معدل التدفق



الشكل (18): المنحني البياني الممثل لتغير معامل تذيل القمم الكروماتوغرافية المفصولة بدلالة تغيرات معدل التدفق

من خلال النتائج السابقة نجد أن إنقاصل معدل تدفق الطور المتحرك يوافق زيادة في مساحة القمم الكروماتوغرافية العائدة للمواد المدرستة كما هو موضح في الشكل

(15)، كذلك أنه بازدياد تدفق الطور المتحرك تنقص أزمنة الاحتفاظ للقمم المفصولة جمعيها ما يؤدي لخروجها من العمود بشكل مبكر والذي يزيد من سرعة التحليل، أيضاً نجد التباين من أجل تدفق  $2.0, 2.2$  mL/min (2) للقمتين (2) و(3) كانت (1.706) و(1.783) على الترتيب، كذلك وجدها أنه عند تدفق  $1.8$  mL/min كان معامل التذليل للقمة (1) أصغر ما يمكن وفق الأشكال (17-18)، ومن ثم فإنها تتحسن قدرة العمود على الفصل إضافةً إلى أن القمم المفصولة تصبح أكثر تمازلاً وحدة. تبيّن النتائج أن قيمة تدفق الطور المتحرك التي أعطت أفضل قيم لبارامترات الفصل كانت  $1.8$  mL/min، إذ حق فصلاً جيداً كما أدى أيضاً إلى تناقص التباين والذي ترافق مع تناقص زمن التحليل الكلي، ومن ثم فإنها تسمح الضغوط المنخفضة للعمود عند قيم التدفقات العالية للطور المتحرك للوصول إلى كفاءة أعلى ونتائج أسرع.

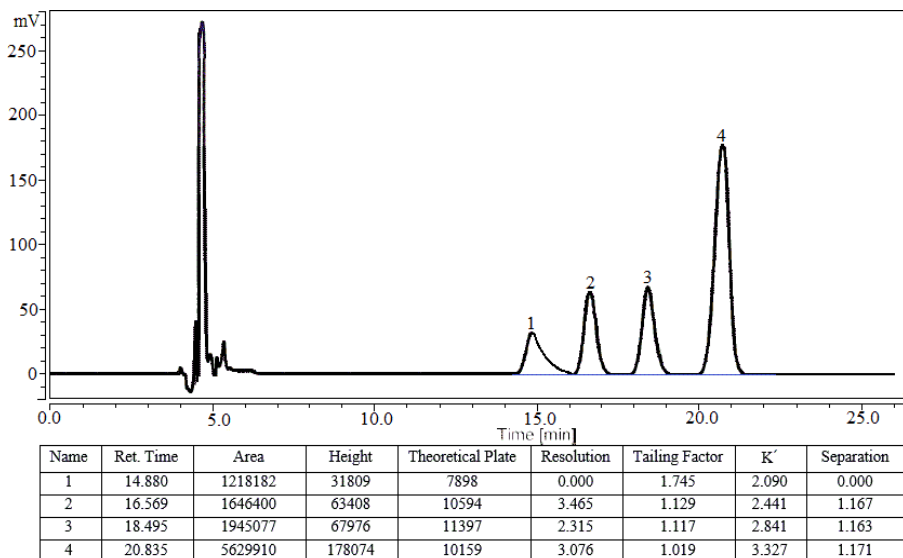
#### الشروط الكروماتوغرافية المثلثي للطريقة المقطرة:

بعد دراسة أهم الشروط الكروماتوغرافية المؤثرة على عملية الفصل من خلال تحديد تأثيرها على بعض المقادير الكروماتوغرافية، يعرض الجدول (1) الشروط الكروماتوغرافية والتي تُعطي فصلاً مثالياً لمكونات المزيج ستيرولي.

الجدول (1): الشروط الكروماتوغرافية المثلثي لفصل مكونات المزيج ستيرولي ب Technique HPLC

C8 ( $250 \times 4.6$ mm, $5 \mu\text{m}$ )	العمود المستعمل
(ACN:Water) (80:20)	نسبة مزج الطور المتحرك
45	درجة حرارة العمود ( $^{\circ}\text{C}$ )
1.8	معدل تدفق الطور المتحرك mL/min
195	طول موجة الكاشف nm
20	حجم الحلقنة $\mu\text{L}$

ويوضح الشكل (19) الكروماتوغرام الأمثل الموافق لفصل مكونات المزيج ستيرولي بعد تطبيق الشروط الكروماتوغرافية المثلثي التي اختيرت في هذا البحث، حتى حصلنا على كروماتوغرام تكون فيه القمم مفصولة عن بعضها البعض ومثالية.



الشكل (19): الكروماتوغرام الأمثل المألف لفصل مكونات المزيج استيرولي ببنقانة HPLC بعد تطبيق الشروط المدروسة المُثلى

وبالتالي سيتم اعتماد الشروط الكروماتوغرافية الجديدة المُطورة في هذا البحث، لفصل وتحديد الستيروولات النباتية وذلك بعد إجراء خطوات المصدوقية التحليلية للطريقة المُطورة.

### 3-2 التحقق من مصدوقية الطريقة التحليلية:

#### Validation of the analytical method

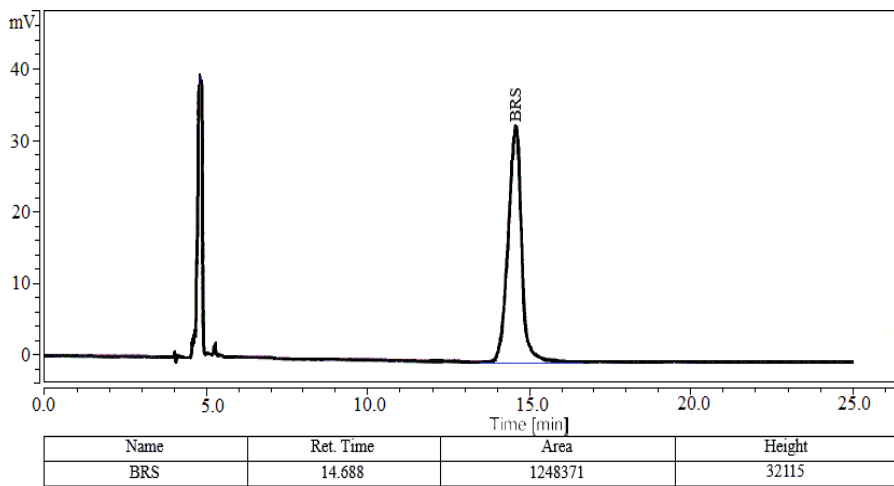
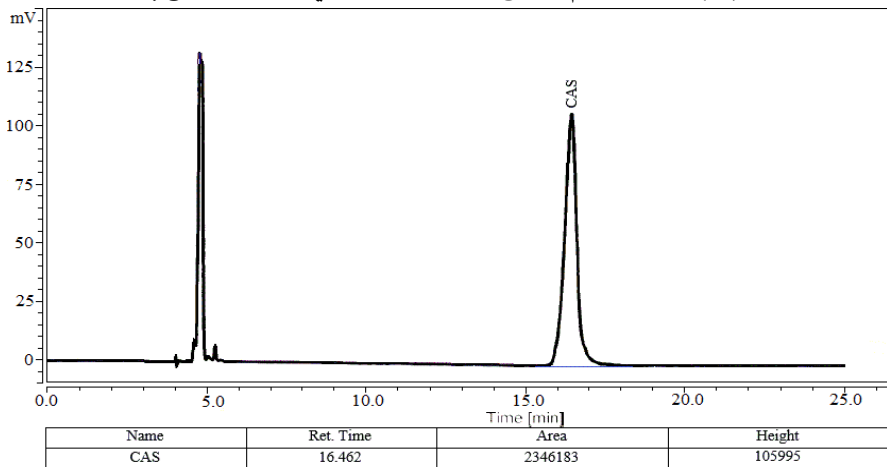
تتطلب الطرائق التحليلية المبتكرة إجراء دراسة التحقق من صلاحيتها، وقد وضعت قواعد ومتطلبات دراسة التتحقق من صلاحية الطرق التحليلية من قبل المجلس الدولي للمواءمة (ICH) الذي يتحدث عن معايير التتحقق التالية:

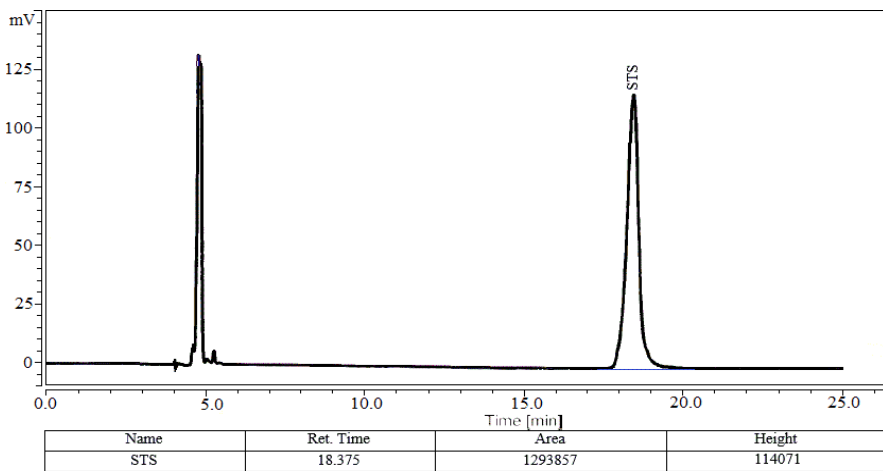
#### Selectivity/

#### 1.3-2 الانقائية/النوعية:

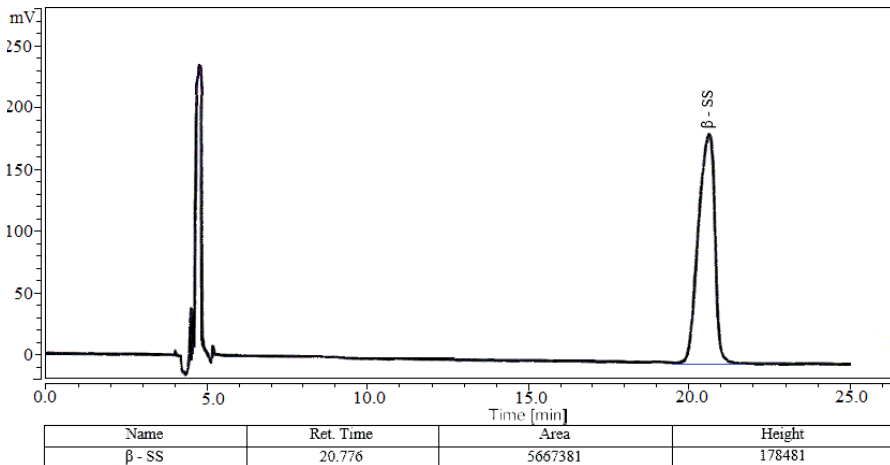
#### Specificity

بغية التأكد من انقائية/نوعية الطريقة التحليلية المطورة في تحديد مزيج من الستيروولات النباتية وفصلها عن بعضها البعض، تم حقن محلول عياري من كل ستيرول إفراديًّا بتركيز مطابق لتركيزه في المزيج استيرولي وذلك بتطبيق الشروط الكروماتوغرافية المُثلى ليتم الحصول على الكروماتوغرامات الموضحة أدناه:

الشكل (20): الكروماتوغرام الموافق لتحديد BRS العياري بتركيز  $11.6 \mu\text{g.mL}^{-1}$ الشكل (21): الكروماتوغرام الموافق لتحديد CAS العياري بتركيز  $205 \mu\text{g.mL}^{-1}$



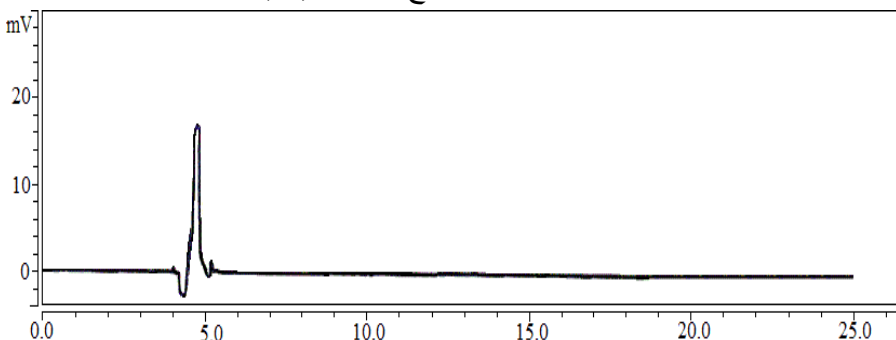
الشكل (22): الكروماتوغرام الموافق لتحديد STS العياري بتركيز  $129 \mu\text{g.mL}^{-1}$



الشكل (23): الكروماتوغرام الموافق لتحديد  $\beta$ -SS العياري بتركيز  $1000 \mu\text{g.mL}^{-1}$

ويُوضح الشكل (19) الكروماتوغرام الموافق للمزيج العياري المحقون حيث نلاحظ أنه أعطى أربع قمم مفصولة تماماً الأولى عند  $Rt_1=14.880 \text{ min}$  وهي تتوافق قمة BRS العيارية الشكل (20)، والثانية عند  $Rt_2=16.569 \text{ min}$  وهي قمة CAS العيارية الشكل (21)، أما القمة الثالثة عند  $Rt_3=18.494 \text{ min}$  وهي تتوافق قمة STS العيارية الشكل (22)، وأخيراً القمة الرابعة عند  $Rt_4=20.835 \text{ min}$  وهي قمة  $\beta$ -SS العيارية الشكل (23)، وبالتالي كانت الستيروولات الأربع في المزيج العياري تملك أزمنة احتفاظ متطابقة مع أزمنة الاحتفاظ للكروماتوغرامات الإفرادية، ومن خلال قيم جدول

المعاملات الكروماتوغرافية تم تأكيد أنها تفي بمعايير القبول لملاعمة النظام (Dadhich *et al.*, 2020) (USP47-NF42, 2024) حيث أن عدد الصفائح النظرية للقمة الأربع N > 2000، وكذلك التباين  $\text{Rs} \geq 1.5$ ، أما معامل التنبيل  $T_f \leq 2$  مع التأكيد على مثالية القمة (4) العائد  $\Delta\text{-SS}$ ، كما لوحظ أنه لا يوجد أي تداخل بين أي قمة من قمم المستيرولات الأربع مع بعضها أو مع أي قمة من القمم الأخرى، في حين نلاحظ أن جميع الكروماتوغرامات السابقة تُبدي قمة كروماتوغرافية مفصولة تماماً عن القمة الرئيسية للمادة، وهي قد تعود لمركبات مرافق أو شوائب ضمن محلول، وللتتأكد من ذلك تم حقن محلول التميديد المستخدم (الميتانول) فقط ضمن الشروط الكروماتوغرافية سابقة الذكر والموضحة بالشكل (24).



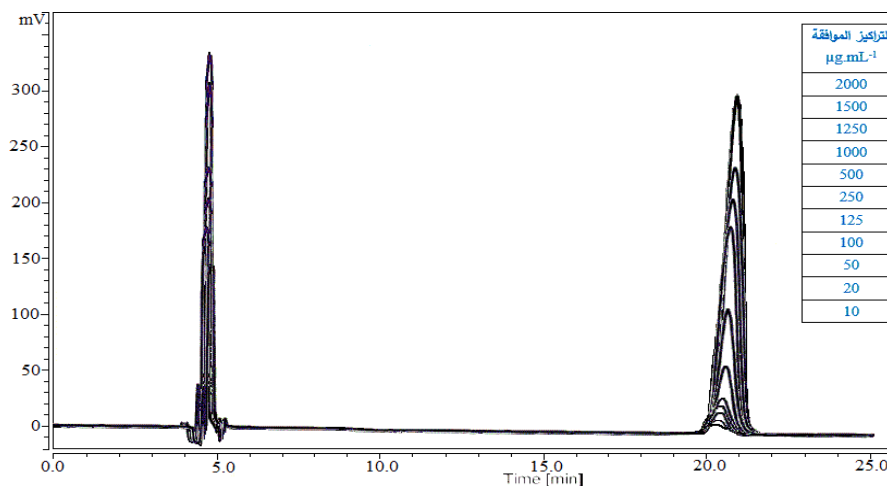
الشكل (24): كروماتوغرام محلول التميديد بتطبيق الشروط الكروماتوغرافية المثلى المدروسة أظهر الكروماتوغرام الموافق لمحلول التميديد أنه يمتلك قمة كروماتوغرافية عند  $\text{Rt}=4.815 \text{ min}$ ، وهي لا تؤثر على عملية الفصل.

### 2.3-2 منحنى المعايرة ومدى الخطية:

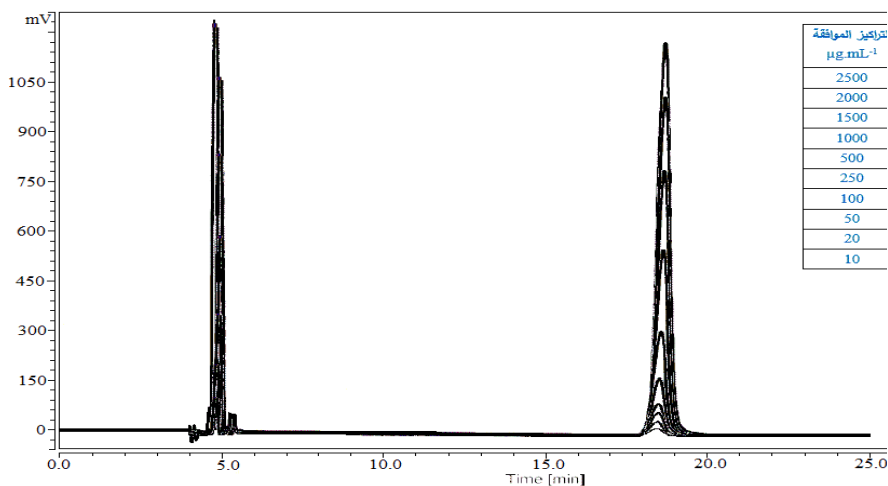
#### Linearity and Calibration Curve Range

لدراسة خطية الطريقة رسم المجال الخطى لتغيرات إشارة الكاشف (مساحة القمة الكروماتوغرافية) بدلالة تركيز المستيرولات العيارية الأربع. حضرت أربعة سلاسل من المحاليل العيارية لكل ستيرول (BRS, CAS,  $\beta$ -SS, STS) بتركيز متزايدة مقدّرة بالـ  $\mu\text{g.mL}^{-1}$  وذلك انطلاقاً من المحاليل العيارية الأم المحضرّة في الفقرة (1.2-1). حضرت خمس مكررات من كل تركيز، ثم حُقنت ضمن جهاز HPLC بتطبيق الشروط المطورة ومن ثم أخذ المتوسط الحسابي لمساحة القمم لكل منها. تعرض

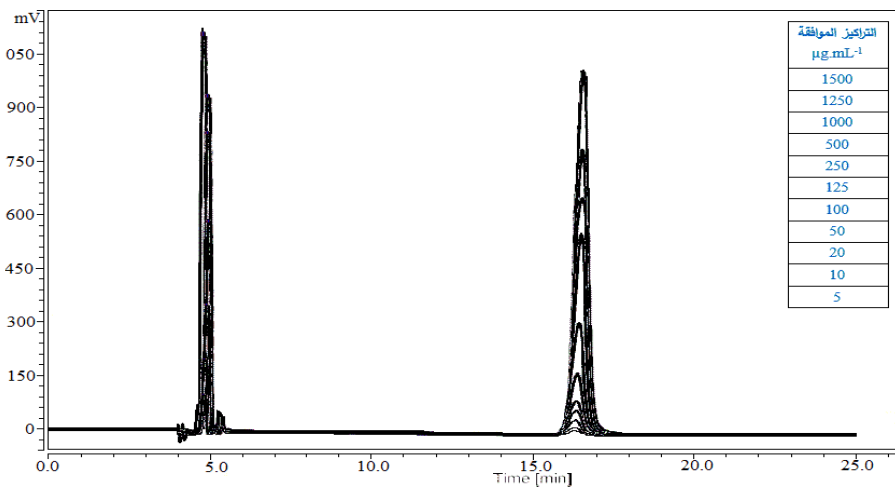
الأشكال (25-28) الكروماتوغرامات المتراكبة الموافقة للسلال العيارية للتراكيز المختلفة لستيروولات العيارية.



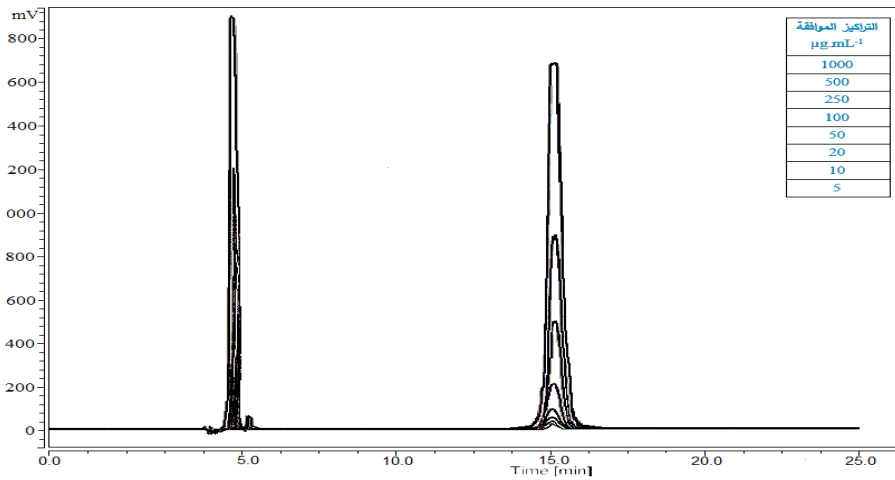
الشكل (25): الكروماتوغرام المُعَبَّر عن المجال الخطى لتراكيز  $\beta\text{-SS}$  بعد تطبيق الشروط المُثلى



الشكل (26): الكروماتوغرام المُعَبَّر عن المجال الخطى لتراكيز STS بعد تطبيق الشروط المُثلى

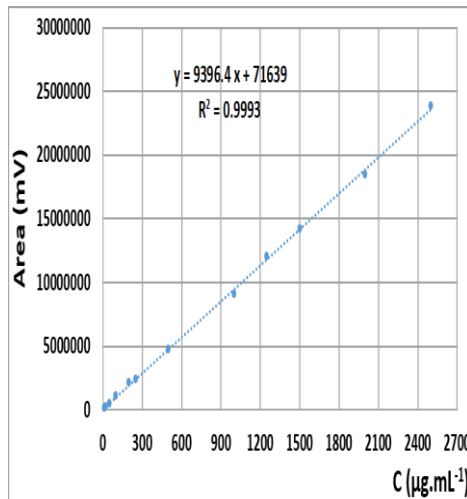


الشكل (27): الكروماتوغرام المُعتبر عن المجال الخطى لتركيز CAS بعد تطبيق الشروط المُثلث

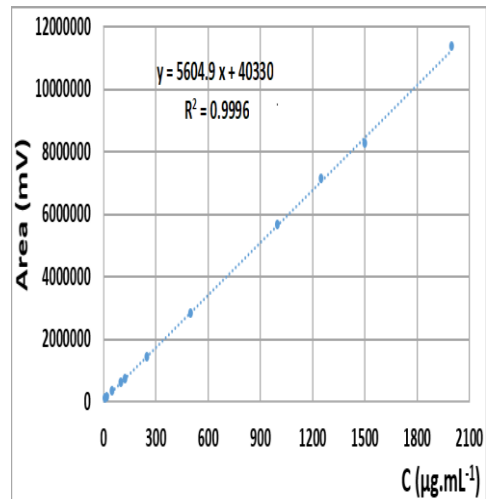


الشكل (28): الكروماتوغرام المُعتبر عن المجال الخطى لتركيز BRS بعد تطبيق الشروط المُثلث

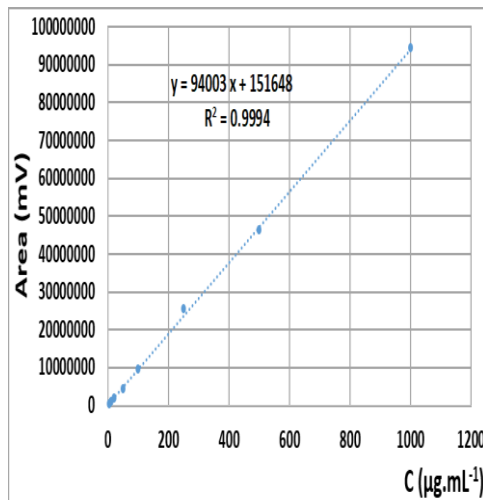
وبرسم المنحنيات العيارية التي تمثل العلاقة بين تغيرات مساحة القمة الكروماتografية الموافقة لمتوسط كل تركيز بدلة تغير التركيز لكل منها وذلك لتحديد المجال التحليلي الأفضل بالنسبة لكل ستيرول كما تُبيّن الأشكال (29-32):



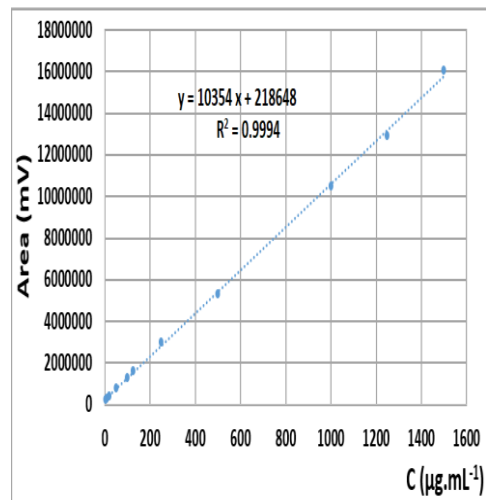
الشكل (30): المنحنى الخطي لتحديد STS



الشكل (29): المنحنى الخطي لتحديد β-SS



الشكل (32): المنحنى الخطي لتحديد BRS



الشكل (31): المنحنى الخطي لتحديد CAS

نلاحظ من معادلة المنحنى الخطي ومن قيمة معامل الارتباط لنقطات المستقيم وجود علاقة ارتباط قوية بين التركيز ومساحة القمة مما يثبت خطية الطريقة.

### 3.3-2 التحقق من حدود المجال الأدنى: Limits

تم حساب حد الكشف LOD وحد التحديد الكمي LOQ (Rajmane & Shinde, 2023)، حيث حسبنا قيمة SD بعد تكرار المنحنيات العيارية لتركيزات تقع ضمن

المجال الخطي بعد قياس كل تركيز خمس مرات وتم تضمينها في الجدول (2) أدناه، حيث تم تحديد العوامل الكمية للستيروولات العيارية من معطيات الخط البياني العياري لخمس مكررات حيث تم تحديد الميل ومعامل الارتباط ونقطة التقاطع مع محور المساحة وكذلك الاسترجاعية.

الجدول (2): المعاملات التحليلية لتحديد الستيروولات المدروسة بالطريقة الكروماتوغرافية المطرورة

BRS	CAS	STS	$\beta$ -SS	(Parameter)
5 - 1000	5 - 1500	10 - 2500	10 - 2000	المجال الخطي ( $\mu\text{g.mL}^{-1}$ )
$Y = 94003X + 151648$	$Y = 10354X + 218648$	$Y = 9396.4X + 71639$	$Y = 5604.9X + 40330$	معادلة المستقيم
0.9994	0.9994	0.9993	0.9996	معامل الارتباط ( $R^2$ )
0.144	0.177	0.316	0.295	حد الكشف ( $\mu\text{g.mL}^{-1}$ )
0.438	0.539	0.959	0.896	حد التحديد الكمي ( $\mu\text{g.mL}^{-1}$ )
98.9 %	99.4 %	100.6 %	101.3 %	الاسترجاعية

### 3- الاستنتاجات:

#### Conclusion

عنّيت الدراسة بتحليل كروماتوغرافي باستخدام تقانة الكروماتوغرافيا السائلة عالية الأداء ذات الطور المعكوس (RP-HPLC) بالاقتران مع كاشف DAD باستخدام وضع الفصل متساوي الضغط بالوصول إلى الشروط الكروماتوغرافية المثلثي لفصل وتحديد مزيج من الستيروولات النباتية، تميزت الطريقة التحليلية بالدقة والحساسية العالية، وتكرارية ممتازة مع قيم منخفضة نسبياً لحدود الكشف والتحديد الكمي وفقاً لتوصيات المجلس الدولي للمواءمة (ICH). بالإضافة إلى ذلك، امتازت طريقة تحضير العينات بالسهولة والابتعاد عن تقانات ومحاليل التحضير وطرائق الاستخلاص المعقدة والمكلفة مما يعزز قابلية تطبيق الطريقة في بيئات مراقبة الجودة

المختلفة. وبالتالي من الممكن تطبيق هذه الطريقة التحليلية لتحديد محتوى الستيروولات النباتية في المنتجات الغذائية والعشبية والزيوت النباتية.

#### 4- المراجع:

#### References

- Abidi, S. L. (2001). Chromatographic analysis of plant sterols in foods and vegetable oils. *Journal of Chromatography A*, 935(1-2), 173-201.
- Ahmed, O. H., Kadhim, E. J., & Ahmed, O. H. (2021). Isolation of Beta-Sitosterol and Stigmasterol From Rumex Acetosella By Preparative High-Performance Liquid Chromatography (HPLC). *Turkish Journal of Field Crops*, 26(1), 378-384.
- Azadmard-Damirchi, S., & Dutta, P. (2010). Phytosterol classes in olive oils and their analysis by common chromatographic methods. In V. R. Preedy & R. R. Watson (Eds.), *Olives and olive oil in Health and disease prevention* (pp. 249-257). Academic Press.
- Calandra, S., Tarugi, P., Speedy, H. E., Dean, A. F., Bertolini, S., & Shoulders, C. C. (2011). Mechanisms and genetic determinants regulating sterol absorption, circulating LDL levels, and sterol elimination: implications for classification and disease risk. *Journal of Lipid Research*, 52(11), 1885-1926.
- Chakraborty, A., Bhattacharjee, A., Mondal, B., & Chakraborty, M. (2023). HPTLC Method Development and Validation for Simultaneous Determination of Beta-Sitosterol and Oleanolic Acid in Eclipta alba. 15(5), 1344-1351.
- Dadhich, B., Goyal, R., & Agarwal, D. (2020). A review on: Development and validation of HPLC in pharmaceutical dosage form. *Asian Journal of Pharmaceutical Research and Development*, 8(4), 110-121.
- Delgado-Zamarreno, M. M., Bustamante-Rangel, M., Martinez-Pelarda, D., & Carabias-Martinez, R. (2009). Analysis of  $\beta$ -sitosterol in seeds and nuts using pressurized liquid extraction and liquid chromatography. *Analytical Sciences*, 25(6), 765-768.
- Deme, T., Haki, G. D., Retta, N., Woldegiorgis, A., Geleta, M., Mateos, H., & Lewandowski, P. A. (2021). Sterols as a biomarker in tracing niger and sesame seeds oils adulterated with palm oil. *Heliyon*, 7(8), e06797. <https://doi.org/10.1016/j.heliyon.2021.e06797>

- Demonty, I., Ras, R. T., Knaap, H. C. M. Van Der, Meijer, L., Zock, P. L., Geleijnse, J. M., & Trautwein, E. A. (2013). The effect of plant sterols on serum triglyceride concentrations is dependent on baseline concentrations : a pooled analysis of 12 randomised controlled trials. 153-160. <https://doi.org/10.1007/s00394-011-0297-x>
- FDA. (2010). Department of Health and Human Services, Food labeling; health claim; phytosterols and risk of coronary heart disease. *Federal Register*, 75(235), 76536–76571.
- Garoufi, A., Vorre, S., Soldatou, A., Tsentidis, C., Kossiva, L., Drakatos, A., Marmarinos, A., & Gourgiotis, D. (2014). Plant sterols enriched diet decreases small, dense LDL-cholesterol levels in children with hypercholesterolemia: a prospective study. *Italian Journal of Pediatrics*, 40, 1-6.
- Hartmann, M.-A. (1998). Plant sterols and the membrane environment. *Trends in Plant Science*, 3(5), 170-175.
- Hossain, A., & Jayadeep, A. (2020). Analysis of bioaccessibility of campesterol , stigmasterol , and  $\beta$  -sitosterol in maize by in vitro digestion method. *Journal of Cereal Science*, 93(March), 102957. <https://doi.org/10.1016/j.jcs.2020.102957>
- Hryniwicka, M., Starczewska, B., & Tkaczuk, N. (2020). Simple Approach Based On Ultrasound-Assisted Emulsification Microextraction For Determination Of  $\beta$ -Sitosterol In Dietary Supplements And Selected Food Products. *Microchemical Journal*, 155(October 2019), 104775. <https://doi.org/10.1016/j.microc.2020.104775>
- Islam, M. A., Jeong, B.-G., Jung, J., Shin, E.-C., Choi, S.-G., & Chun, J. (2017). Phytosterol determination and method validation for selected nuts and seeds. *Food Analytical Methods*, 10(11), 3680-3687. <https://doi.org/10.1007/s12161-017-0918-6>
- Ito, M., Ishimaru, M., Shibata, T., Hatate, H., & Tanaka, R. (2017). High-Performance Liquid Chromatography with Fluorescence Detection for Simultaneous Analysis of Phytosterols (Stigmasterol,  $\beta$ -Sitosterol, Campesterol, Ergosterol, and Fucosterol) and Cholesterol in Plant Foods. *Food Analytical Methods*, 10(7), <https://doi.org/10.1007/s12161-017-0841-2>
- Khonsa, K., Setyaningrum, D. L., Saputro, A. H., Amelia, T., Ibrahim, S., & Damayanti, S. (2022). Analysis of  $\beta$ -sitosterol in supplements using high-performance liquid chromatography: Development and validation. *RASAYAN Journal of Chemistry*,

- 15(3), 1997-2003.
- Kornsteiner-krenn, M., Wagner, K., & Elmadfa, I. (2013). Phytosterol Content and Fatty Acid Pattern of Ten Different Nut Types. *International Journal for Vitamin and Nutrition Research*, 83(5), 263–270. <https://doi.org/10.1024/0300>
- Lee, J., Weon, J. B., Yun, B.-R., Eom, M. R., & Ma, C. J. (2015). Simultaneous determination three phytosterol compounds, campesterol, stigmasterol and daucosterol in Artemisia apiacea by high performance liquid chromatography-diode array ultraviolet/visible detector. *Pharmacognosy Magazine*, 11(42), 297-304.
- Li, Y., Wu, M., Zhai, L., Zhang, H., & Shen, L. (2023). Qualitative and quantitative analysis of  $\beta$ -sitosterol marker in virgin camellia oil and virgin olive oil. *Food Quality and Safety*, 7(1), 1-9. <https://doi.org/10.1093/fqsafe/fyad005>
- Mishra, A., Mishra, A., & Gupta, R. (2016). Determination of Gallic acid and  $\beta$  - sitosterol in poly-herbal formulation by HPTLC. 4(4), 373-379. <https://doi.org/10.15406/ppij.2016.04.00081>
- Mo, S., Dong, L., Hurst, W. J., & Breemen, R. B. Van. (2013). Quantitative Analysis of Phytosterols in Edible Oils Using APCI Liquid Chromatography - Tandem Mass Spectrometry. 949-956. <https://doi.org/10.1007/s11745-013-3813-3>
- Matthäus, B., & Özcan, M. M. (2020). Quantification of sterol contents in almond (*Prunus amygdalus* L.) oils. *Iranian Journal of Chemistry and Chemical Engineering*, 39(2), 203-206.
- Ogbe, R. J., Ochalefu, D. O., Mafulul, S. G., & Olaniru, O. B. (2015). A review on dietary phytosterols: Their occurrence, metabolism and health benefits. *Asian J. Plant Sci. Res.*, 5(4), 10–21.
- Okoro, I. S., Tor-anyiin, T. A., Igoli, J. O., Noundou, X. S., & Krause, R. W. M. (2017). Isolation and Characterisation of Stigmasterol and  $\beta$  - Sitosterol from *Anthocleista djalonensis* A. Chev . *Asian Journal of Chemical Sciences (AJOCS)*, 3(4), 1-5. <https://doi.org/10.9734/AJOCs/2017/37147>
- Pop, G., Galuscan, A., Peev, C., Militaru, A., Vlase, L., Ardelean, L., & Rusu, L. C. (2012). HPLC-MS Identification of Sterol Fractios from Vegetable Oil. 10, 1-5.
- Potawale, S. E., Gabhe, S. Y., & Mahadik, K. R. (2014). Quantification of Gymnemagenin and  $\beta$ -Sitosterol in Marketed Herbal Formulation by Validated Normal Phase HPTLC Method. *Chromatography Research International*, 2014(1), 626801.
- Qi, N., Liu, Y., Liao, L., Gong, X., & Yang, C. (2019). A new method

- for determination of campesterol, stigmasterol and  $\beta$ -sitosterol in edible oils by supercritical fluid chromatography. *Journal of Food & Nutrition Research*, 58(4), 363-369.
- Rajmane, A. D., & Shinde, K. P. (2023). A Review of HPLC Method Development and Validation as per ICH Guidelines. *Asian Journal of Pharmaceutical Analysis*, 13(2), 143-151.
- Raju, M. P., Babu, D. G. A., Kumar, B. R., & Rajashekhar, C. H. (2013). The role of phytosterols enriched foods-A review. *Journal of Environmental Science, Toxicology and Food Technology*, 7(6), 40-47.
- Rawal, G., Yadav, S., Nagayach, S., & Rawal, G. (2015). Phytosterols and the health. *Medical Research Chronicles*, 2(3), 441-444.
- Saleh, T. A.-K. (2021). Isolation and identification of campesterol, stigmasterol and beta-sitosterol in Iraqi date palm pollen. *Journal of Education and Scientific Studies Chemistry (JESCS)*, 17(5).
- Sangwan, S. (2019). Isolation and Analytic Characterization of  $\beta$ -Sitosterol and GC-MS Analysis of Methanolic Leaves Extract of *Pongamia pinnata* (L.) pierre. *Natural Products Chemistry & Research*, 6(6). <https://doi.org/10.4172/2329-6836.1000348>
- Silva, S. A. da, Sampaio, G. R., & Torres, E. A. F. da S. (2020). Phytosterols content in vegetable oils of Brazil: Coconut, safflower, linseed and evening primrose. *Brazilian Archives of Biology and Technology*, 63, 1-8.
- Smet, E. De, Mensink, R. P., & Plat, J. (2012). Effects of plant sterols and stanols on intestinal cholesterol metabolism: suggested mechanisms from past to present. *Molecular Nutrition & Food Research*, 56(7), 1058-1072.
- Solich, P., Fibigr, J., & Satínsk, D. (2017). A UHPLC method for the rapid separation and quantification of phytosterols using tandem UV / Charged aerosol detection - A comparison of both detection techniques. *Journal of Pharmaceutical and Biomedical Analysis*, 140, 274-280. <https://doi.org/10.1016/j.jpba.2017.03.057>
- Suhartati, T., & Yandri, Y. (2021). Potential Antibacterial Activity of Bioactive  $\beta$ -sitosterol from Root Bark of *Rhizophora apiculata* from Lampung Coastal. *Jurnal Kimia Sains Dan Aplikasi*, 24(4), 114-119.
- United States Pharmacopeia (USP 47-National Formulary (NF 42). (2024). Chapter 621: Chromatography. *U.S. Pharmacopeial Convention*.
- Vecka, M., Staňková, B., Kutová, S., Tomášová, P., Tvrzická, E., &

- Žák, A. (2019). Comprehensive sterol and fatty acid analysis in nineteen nuts ,seeds ,and kernel. *SN Applied Sciences*, 1(12), 1-12. <https://doi.org/10.1007/s42452-019-1576-z>
- Vemuri, S., Ramasamy, M. K., Rajakanu, P., Chandra, R., Kumar, S., & Kalliappan, I. (2018). Application of Chemometrics for the simultaneous estimation of stigmasterol and  $\beta$  -sitosterol in Manasamitra Vatakam-an ayurvedic herbomineral formulation using HPLC-PDA method. *Journal of Applied Pharmaceutical Science*, 8(07), 1-9. <https://doi.org/10.7324/JAPS.2018.8701>
- Warner, K., & Mounts, T. L. (1990). Analysis of tocopherols and phytosterols in vegetable oils by HPLC with evaporative light-scattering detection. *Journal of the American Oil Chemists' Society (JAOCS)*, 67(11), 827-831.
- Weihrauch, J. L., & Grander, J. M. (1978). Sterol content of foods of plant origin. *Journal of American Dietetic Association*, 73, 39-47.